

Triode mit Edelgasfüllung

Triode, inert gas-filled

Triode avec remplissage à gaz rare

Triodo con relleno de gas noble

Glasausführung

Glass type

Exécution verre

Tipo de vidrio

Kathode

Cathode

Cathode

Cátodo

direkt geheizt

directly heated

à chauffage direct

caldeado directamente

Montageanordnung:

Mounting Position:

Disposition de montage:

Para montaje:

Beliebig

Any

Quelconque

cualquiera

Gewicht

Approx. net weight

Poids

Peso

0,35 kg

0,77 lbs

a = Anode

Anode

Anode

Anodo

g = Steuergitter

Control grid

Grille de réglage

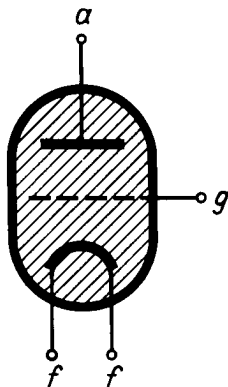
Rejilla de mando

f = Heizung

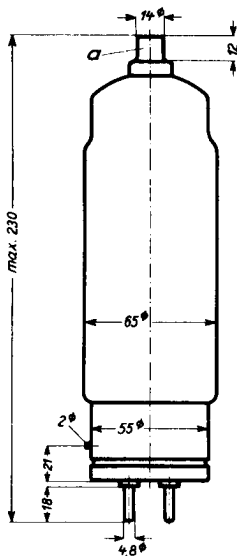
Filament

Filament

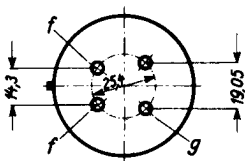
Filamento



Abmessungen }
 Dimensions } mm
 Dimensiones }



Sockelansicht von unten
 Bottom view of socket
 Socle vu du bas
 Portaválvula vista desde abajo



Freie Kontakte der Fassung dürfen nicht als Stützpunkte für Schaltmittel benutzt werden.

Free socket contacts must not be used for supporting any circuitry.

Les contacts libres de la douille ne doivent pas servir de points d'appui pour l'appareillage de connexion.

Los contactos libres de los portalámparas no deben ser empleados como puntos de apoyo para elementos de conexión.

Technische Werte Technical data Caractéristiques techniques Datos técnicos

Heizspannung Filament voltage Tension de chauffage Tensión de caldeo	}	U_f 2,5 V
Heizstrom Filament current Courant de chauffage Corriente de caldeo		
	ca. abt. env. aprox.	}
Heizstrom Filament current Courant de chauffage Corriente de caldeo		
Toleranz der Heizspannung Max. permissible filament voltage fluctuations Fluctuation admissible de la tension de chauffage Tolerancia de la tensión de caldeo	}	max. \pm 5%
Anheizzeit Cathode-heating time Durée de chauffage Tiempo de precaldeo		
	}	t_f min. 60 sec.
Anodenspannung (Scheitelwert) Anode voltage (crest value) Tension anodique (valeur de crête) Tensión anódica (valor cresta)		
	}	U_a max. 1,5 kV
Anodenspannung (Scheitelwert) Anode voltage (crest value) Tension anodique (valeur de crête) Tensión anódica (valor cresta)		
Sperrspannung (Scheitelwert) Inverse voltage (crest value) Tension d'arrêt (valeur de crête) Tensión de bloqueo (valor cresta)	}	$U_{inv.}$ max. 1,5 kV
Sperrspannung (Scheitelwert) Inverse voltage (crest value) Tension d'arrêt (valeur de crête) Tensión de bloqueo (valor cresta)		
Anodenstrom (Scheitelwert) Anode current (crest value) Courant anodique (valeur de crête) Corriente anódica (valor cresta)	}	$J_{max.}$ 80 A
Anodenstrom (Scheitelwert) Anode current (crest value) Courant anodique (valeur de crête) Corriente anódica (valor cresta)		
Anodenstrom (Mittelwert) Anode current (average) Courant anodique (valeur moyenne) Corriente anódica (valor medio)	}	J_a max. 6,4 A
Anodenstrom (Mittelwert) Anode current (average) Courant anodique (valeur moyenne) Corriente anódica (valor medio)		
Steuergitterspannung bei gesperrter Röhre (Scheitelwert) Negative control grid bias of non-conductin. tube (crest value) Tension de grille régulatrice pour tube non allumé (valeur de crête) Tensión de rejilla de mando con válvua no encendida (valor cresta)	}	U_g max. - 250 V
Steuergitterspannung bei gesperrter Röhre (Scheitelwert) Negative control grid bias of non-conductin. tube (crest value) Tension de grille régulatrice pour tube non allumé (valeur de crête) Tensión de rejilla de mando con válvua no encendida (valor cresta)		

Steuergitterstrom (Scheitelwert)
Control grid current (crest value)
Courant de grille (valeur de crête)
Corriente de rejilla (valor cresta)

} \hat{i}_g max. 0,2 A

Steuergitterstrom (Mittelwert)
Control grid current (average)
Courant de grille (valeur moyenne)
Corriente de rejilla (valor medio)

} i_g max. 0,05 A

Gitterwiderstand
Max. grid resistance
Résistance de grille
Resistencia de rejilla

} R_g max. 100 k Ω

Spannungsabfall an der gezündeten Röhre
Arc drop
Chute de tension
Caída de tensión

} U_B 16 V

Integrationszeit
Integration time
Temps d'intégration
Tiempo de integración

} τ max. 15 sec.

Jonisationszeit
Ionisation time
Temps d'ionisation
Tiempo de ionización

} t_i 10 μ sec.

Freiwerdezeit
Recovery time
Temps de recouvrement
Tiempo de recobro

bei
at
à
en } $U_g = - 10$ V t_r 500 μ sec.
 $U_g = - 100$ V t_r 70 μ sec.

Gitteranoden-Kapazität
Grid-anode capacity
Capacité d'anode de grille
Capacidad del ánodo de rejilla

} C_{ag} 0,8 pF
($\mu\mu$ F)

Eingangs-Kapazität
Grid-filament capacity
Capacité a'entrée
Capacidad rejilla filamento

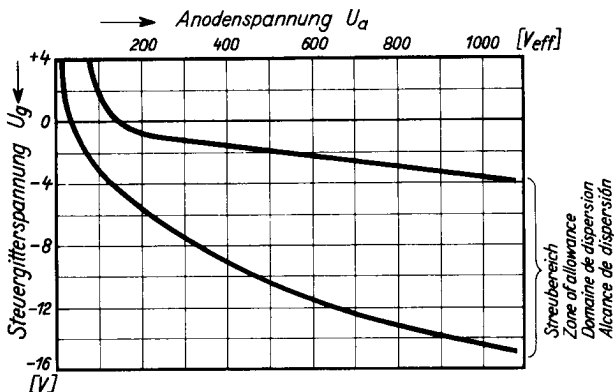
} C_g 45 pF
($\mu\mu$ F)

Ausgangs-Kapazität
Anode-filament capacity
Capacité de sortie
Capacidad ánodo-filamento

} C_a 26 pF
($\mu\mu$ F)

Umgebungstemperatur
Ambient temperature
Température ambiante
Temperatura de ambiente

} min. - 55° C
max. + 70° C



Zündkennlinienbereich bei einer großen Zahl von Röhren gemessen. Zündkennlinie stellt Steuergitterspannung U_g in Abhängigkeit von der Anodenwechselspannung U_a (Effektivwert) am Zündpunkt dar.

Band of ignition characteristics as determined from measurements of a multitude of tubes.

Breakdown characteristic presents grid potential U_g as function of anode voltage (effective) U_a at firing point.

Domaine des caractéristiques d'allumage d'eterminé sur un grand nombre de tubes. La caractéristique d'allumage représente la tension de grille U_g en fonction de la tension alternative anodique (valeur effective) au point d'allumage.

Alcance de las características de ignición determinado en gran número de válvulas medidas.

La característica de ignición representa la tensión de rejilla de mando U_g en dependencia de la tensión alterna anódica U_a (valor eficaz) en el punto de ignición.